

**INSTITUTO GEOLÓGICO Y MINERO DE ESPAÑA**

**MAPA GEOLÓGICO DE ESPAÑA 3.0**

**1: 50.000**

**ALCANTARILLA 933**

**ALBUM DE FOTOS**

Diciembre 2003

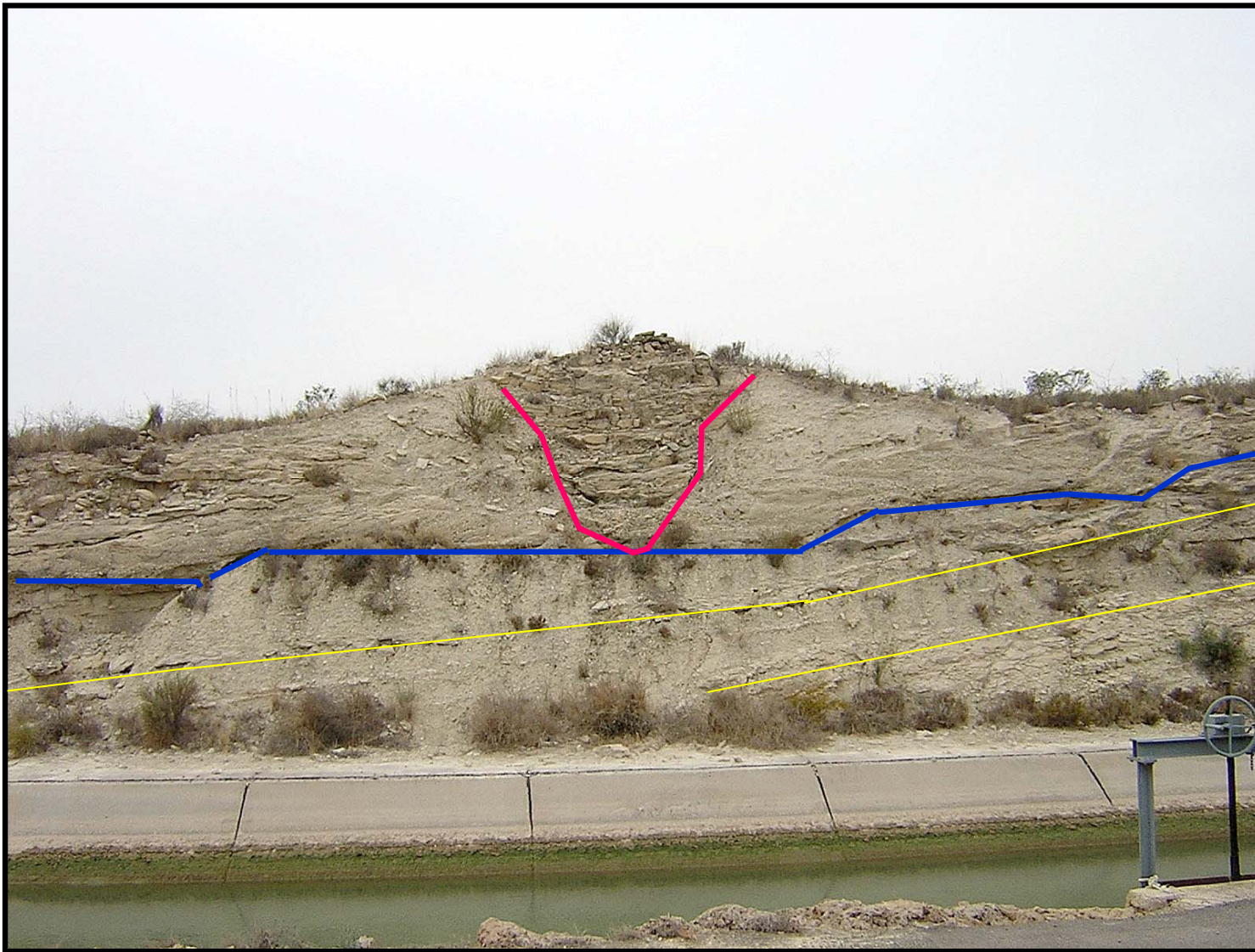
## FOTOGRAFIAS ALCANTARILLA\_933.

Coordenadas UTM

Nº Foto	X	Y
26-37-IN-FL-F 1	645495,35	4206913,66
26-37-IN-FL-F 2	645543,75	4206129,48
26-37-IN-FL-F 3	643685,72	4202078,24
26-37-IN-FL-F 4	645733,99	4202745,96
26-37-IN-FL-F 5	643992,51	4201933,86
26-37-IN-FL-F 6	647592,78	4201816,56
26-37-IN-FL-F 7	646149,06	4198604,29
26-37-IN-FL-F 8	645400,13	4197954,62
26-37-IN-FL-F 9	644245,16	4196844,76
26-37-IN-FL-F 10	642837,53	4196528,94
26-37-IN-FL-F 11	642720,23	4196348,48
26-37-IN-FL-F 12	642458,56	4196222,15
26-37-IN-FL-F 13	642404,42	4195834,15
26-37-IN-FL-F 14	641953,26	4194182,92
26-37-IN-FL-F 15	639602,96	4191716,94
26-37-IN-FL-F 16	639424,94	4191578,98
26-37-IN-FL-F 17	639282,53	4191743,65
26-37-IN-FL-F 18	639249,15	4191763,67
26-37-IN-FL-F 19	639026,63	4191125,04
26-37-IN-FL-F 20	638986,58	4191069,41
26-37-IN-FL-F 21	635938,44	4194503,65
26-37-IN-FL-F 22	631896,73	4192043,96
26-37-IN-FL-F 23	633294,53	4193615,13
26-37-IN-FL-F 24	634020,52	4194297,78
26-37-IN-FL-F 25	634822,36	4194276,11
26-37-IN-FL-F 26	635190,78	4194200,26
26-37-IN-FL-F 27	643859,41	4199066,01
26-37-IN-FL-F 28	643235,01	4198510,99
26-37-IN-FL-F 29	641448,42	4194075,09
26-37-IN-FL-F 30	641173,69	4194141,17
26-37-IN-FL-F 31	639350,54	4193921,21
26-37-IN-FL-F 32	639284,46	4194267,23
26-37-IN-FL-F 33	639514,65	4194152,13
26-37-IN-FL-F 34	635999,41	4191142,95
26-37-IN-FL-F 35	635943,72	4191246,37
26-37-IN-FL-F 36	657053,11	4195153,94
26-37-IN-FL-F 37	657056,08	4195509,23
26-37-IN-FL-F 38	656958,31	4196422,09
26-37-IN-FL-F 39	656327,59	4197071,47
26-37-IN-FL-F 40	653965,91	4196117,23
26-37-IN-FL-F 41	654490,73	4196665,37
26-37-IN-FL-F 42	654490,51	4196665,11
26-37-IN-FL-F 43	641934,06	4192415,81
26-37-IN-FL-F 44	644551,36	4195072,87
26-37-IN-FL-F 45	649796,61	4202872,05
26-37-IN-FL-F 46	650280,48	4202285,54
26-37-IN-FL-F 47	649542,46	4201835,88
26-37-IN-FL-F 48	650264,93	4202241,53
26-37-IN-FL-F 49	654250,33	4206698,89
26-37-IN-FL-F 50	654441,14	4206878,79
26-37-IN-FL-F 51	655213,11	4207345,33



26-37-IN-FL-F 1.- Canal muy erosivo y con relleno de conglomerados de cantos carbonatados (cgc). Corta las facies gradadas (33) de los tramos inferiores de la USD IV. Estos canales con dimensiones hectómetricas se consideran rellenos de cañones en borde de talud.



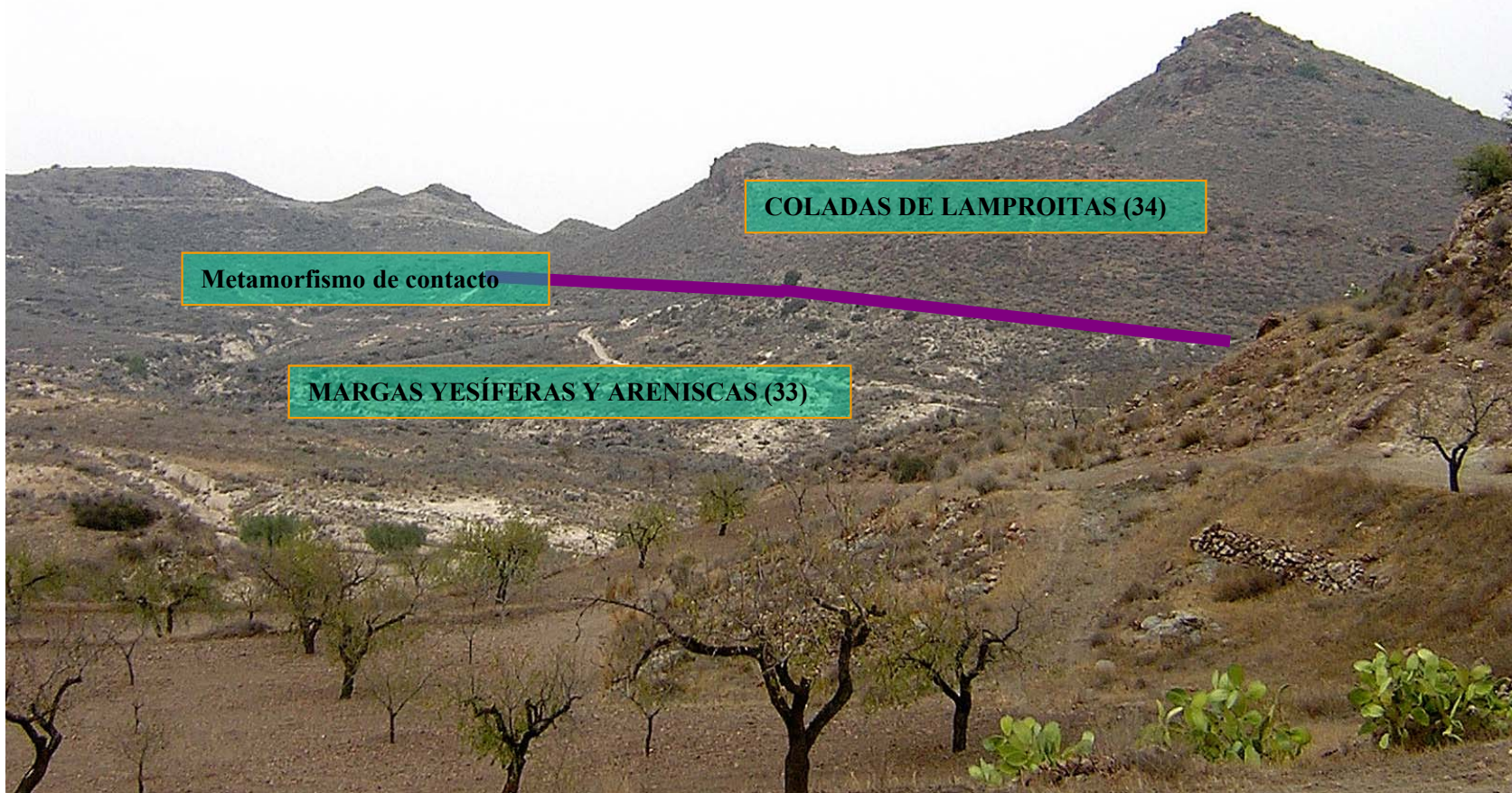
26-37-IN-FL-F 2.- Canales ribbon cortando facies de relleno de canales mayores (cgc). Tramos basales (33) de la USD IV



26-37-IN-FL-F 3.-Pilow-lavas en las lamproitas del volcán de Barqueros



26-37-IN-FL-F 4.- Contacto entre las margas yesíferas (36) de la USD IV y los conglomerados y lutitas rojos de la USD V.



26-37-IN-FL-F 5.- Panorámica del aparato volcánico de Barqueros. Domos y coladas de rocas de la serie lamproítica sobre las areniscas y margas yesíferas (33) de la USD IV.



26-37-IN-FL-F 6.- Secuencias métricas a decamétricas (Gt-Fl) en los sedimentos rojos de la Unidad V



26-37-IN-FL-F 7.- Desde el Canal del Taibilla, vista hacia el este de la USD V en la que se observan sus facies palustres y lacustres como intercalaciones blanquecinas



26-37-IN-FL-F 8 .- El contacto de las arenas y margas yesíferas (33) de la USD IV y los conglomerados rojos de la USD V.



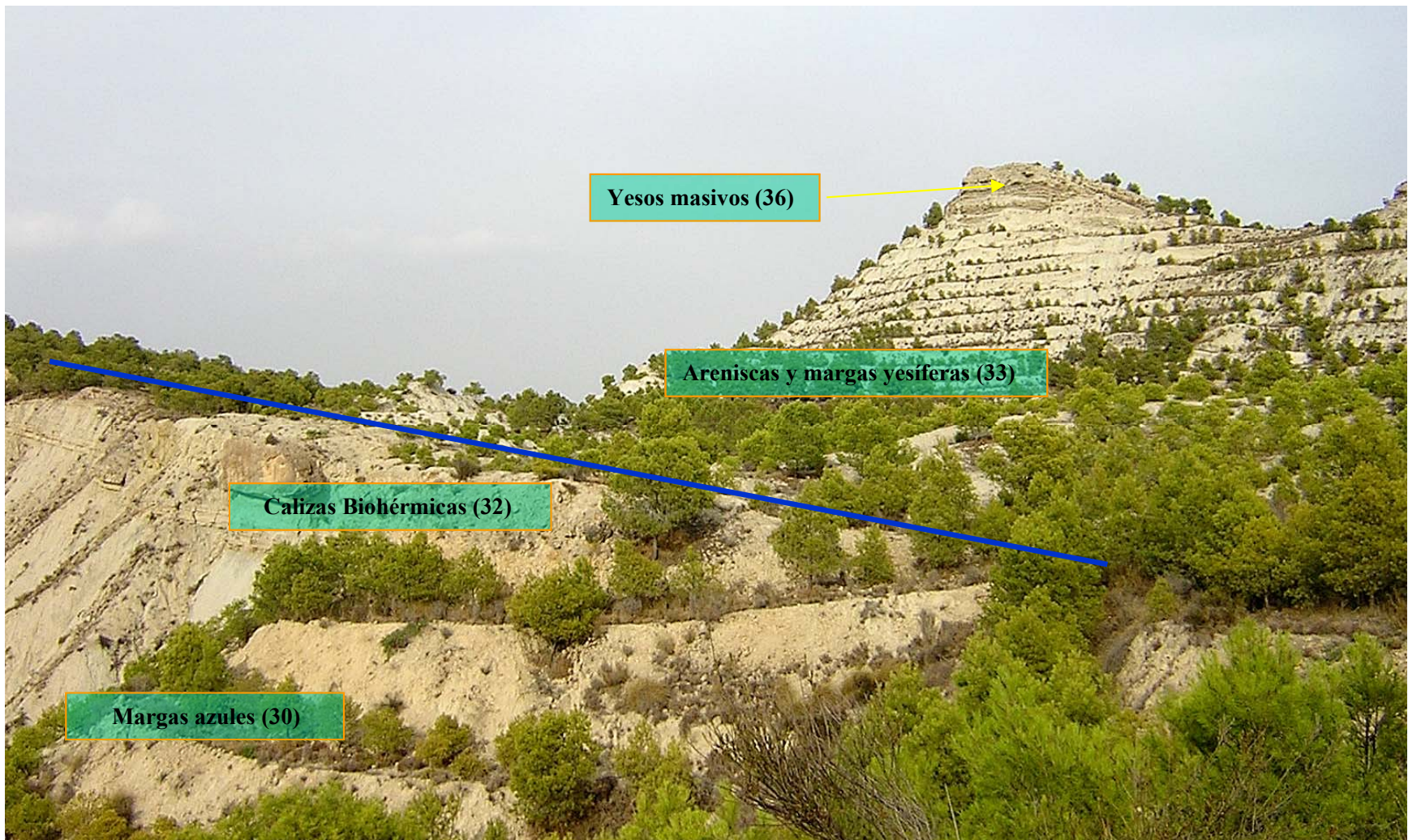
26-37-IN-FL-F 9.- Vista hacia el Oeste desde el Caserio Alamillo en el Canal del Taibilla (Librilla), del flanco meridional del sinclinal en la USD V y de los abanicos aluviales de la margen izquierda del Río Guadalentín.



**26-37-IN-FL-F 10 .- Los Barrancos de Gebas (Paraje Natural). Margas azules (30) de la USD III.. Al fondo yesos masivos de la USD IV.**



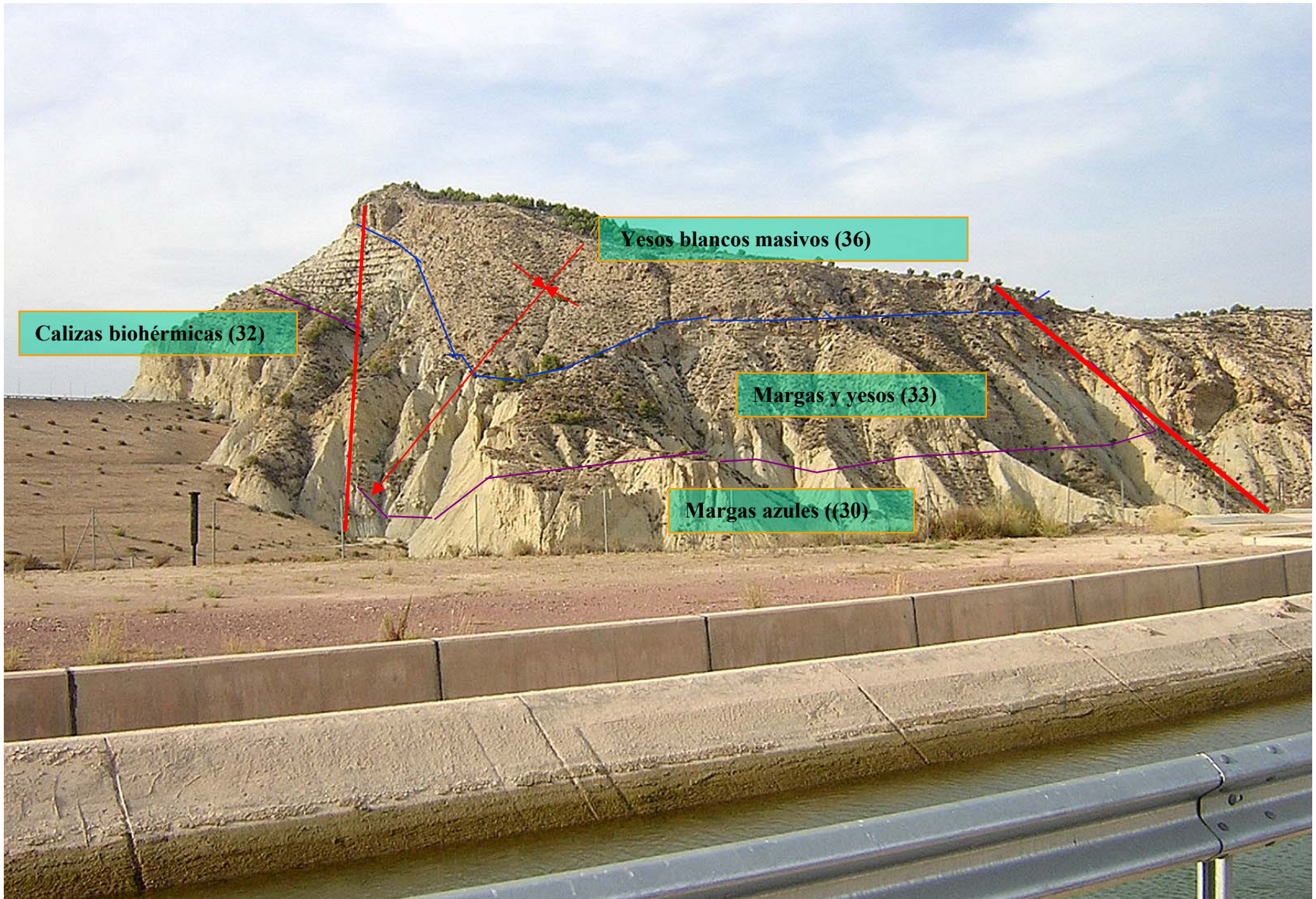
26-37-IN-FL-F 11.- Vista de la ladera septentrional de la Loma del Caballo. Margas azules (30) y a techo calizas biohérnicas (32).  
**USD III**



26-37-IN-FL-F 12.- Ladera septentrional del Pico del Castellar. Límite entre las USD III y IV



26-37-IN-FL-F 13.- Yesos blancos nodulares, microlaminares y masivos (36) de la USD IV



26-37-IN-FL-F 14.- Cierre perisinclinal en la USD IV sobre la USD III. Embalse en la Rambla de Algeciras al NO de Librilla.



26-37-IN-FL-F 15.- Conglomerados rojos de la USD V verticalizados por la Falla de Lorca-Alhama. Cementerio de Alhama de Murcia



26-37-IN-FL-F 16.- Planos de falla con estrias subhorizontales. Dolomias del Complejo Maláguide. Falla de Lorca- Alhama. Sector de Alhama de Murcia.



26-37-IN-FL-F 17.- Secuencias turbidíticas Ta-d y T b-e en las arenas, limos y margas amarillas (27) de la USD II. Se observa uno de los sistema de fracturas conjugadas que cortan a la falla de Lorca-Alhama. Sector de Alhama de Murcia



**26-37-IN-FL-F 18.- Secuencias turbidíticas T b-c en las arenas amarillas (27) de la USD II. Sector de Alhama de Murcia**



26-37-IN-FL-F 19.- Conglomerados polimícticos, poligénicos y heterométricos de color rojizo (26) de la USD II. Alhama de Murcia



**26-37-IN-FL-F 20.- Aspecto de estos conglomerados (27) en las inmediaciones del Balneario de Alhama de Murcia**



26-37-IN-FL-F 21.- Secuencias gradadas y carbonato crecientes (29) en el fan-deltas del Berro-Gebas.Tramos basales de la USD III



26-37-IN-FL-F 22.- El barranco de Leiva entre los vértices de Espuña y La Garita con paredes verticalizadas en las dolomias del Triásico Superior (14) del Complejo Maláguide.



26-37-IN-FL-F 23.- Conglomerados rojos (cg) en los tramos basales del fan-delta del Berro-Gebas. A techo las secuencias gradadas y carbonato crecientes. Tramos basales de la USD III.



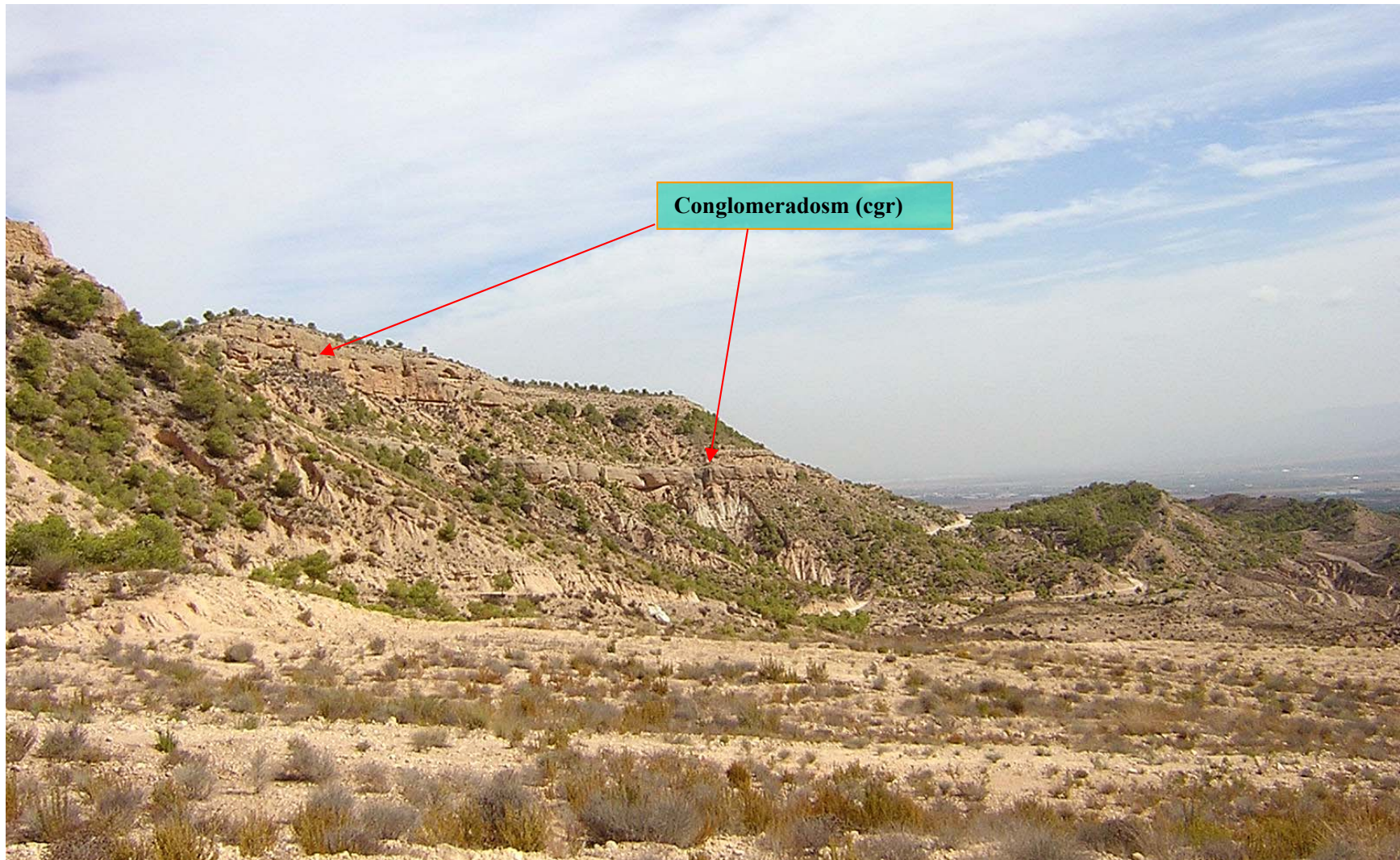
26-37-IN-FL-F .- 24.- Cambios laterales de facies entre los conglomerados rojos y las secuencias gradadas carbonatocrecientes en la USD III. Fan-delta del Berrón-Gebas



26-37-IN-FL-F 25.- Detalle de los conglomerados (cg) rojos en el fan-delta del Berrón. USD III.



26-37-IN-FL-F 26.- Secuencia decamétrica, gradada, carbonatocreciente en los tramos de techo del fan-delta de El Berrón-Gebas.  
USD III



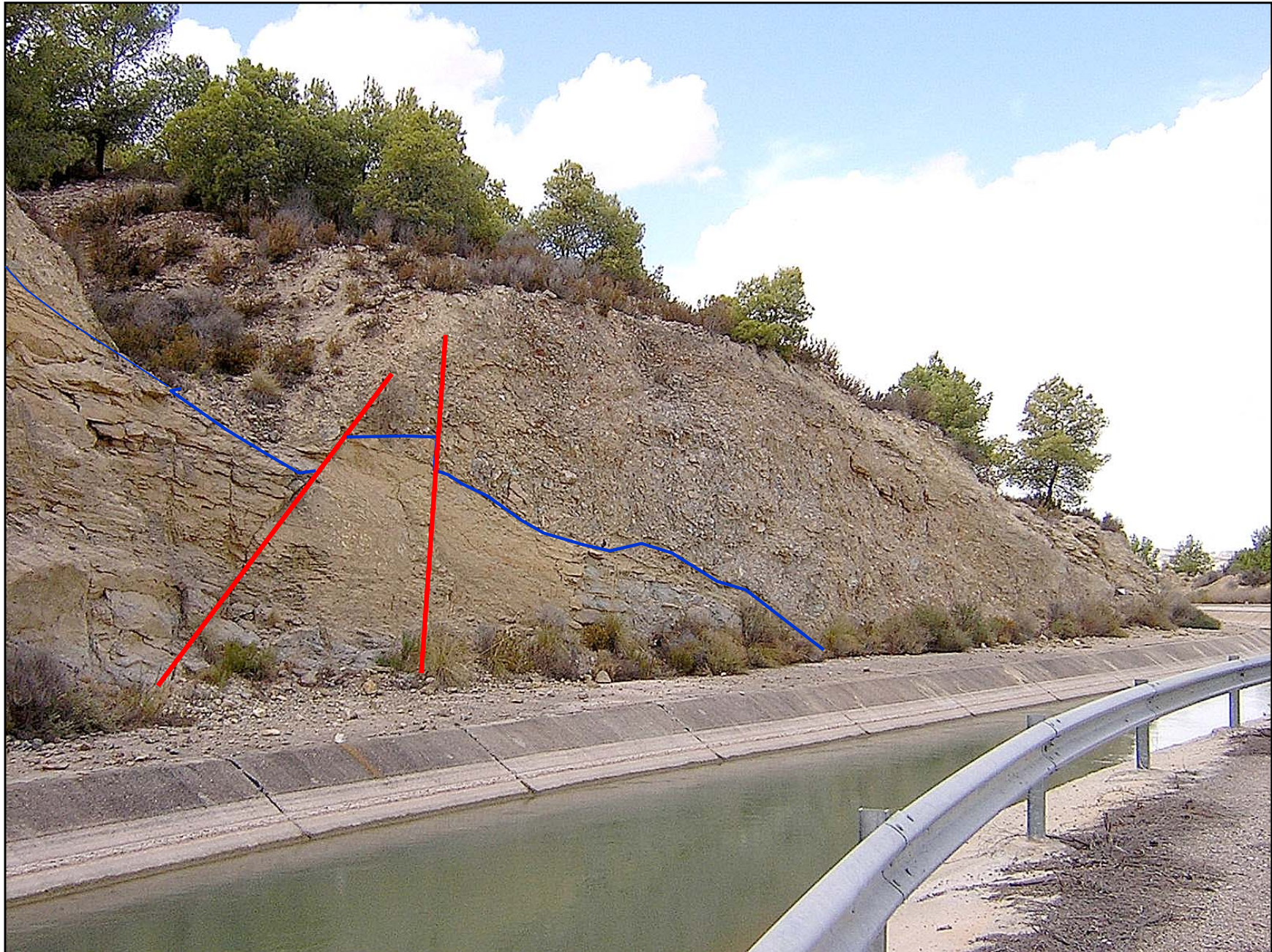
26-37-IN-FL-F 27.- Conglomerados (cgr), areniscas y lutitas rojos (38), de la USD V en el vértice de Loma Larga



26-37-IN-FL-F 28 .- Contacto entre las margas azuladas con pequeños lamelibranquios (30) de la USD III y los conglomerados y yesos nodulares(33) de la USD IV. Observese el horizonte lutítico- ferruginoso entre ambas USD.



26-37-IN-FL-F 29.- Vista hacia el Este, desde la Sierra de la Muela, del cierre perisinclinal en los yesos masivos de la USD IV . Embalse en la Rambla de Algeciras y Canal del Taibilla.



26-37-IN-FL-F 30.- Conglomerados (cg), polícticos y heterométricos (29), en contacto angular y erosivo sobre las areniscas amarillas en facies turbidíticas (28). Límite de las USD II y III. Canal del Taibilla en la vertiente septentrional de la Sierra de La Muela.



26-37-IN-FL-F 31.-Tramo basal de los conglomerados poliméticos y heterométricos (29), en la vertiente septentrional de la Sierra de La Muela.



26-37-IN-FL-F 32.- Los conglomerados de cantos de rocas metamórficas (31), intercalados en las margas azules (30). Cerro de la Atalaya en la vertiente septentrional de la Sierra de La Muela.



26-37-IN-FL-F 33.- Aspecto de las margas azules (30), en el Canal del Taibilla. Vertiente septentrional de la Sierra de La Muela



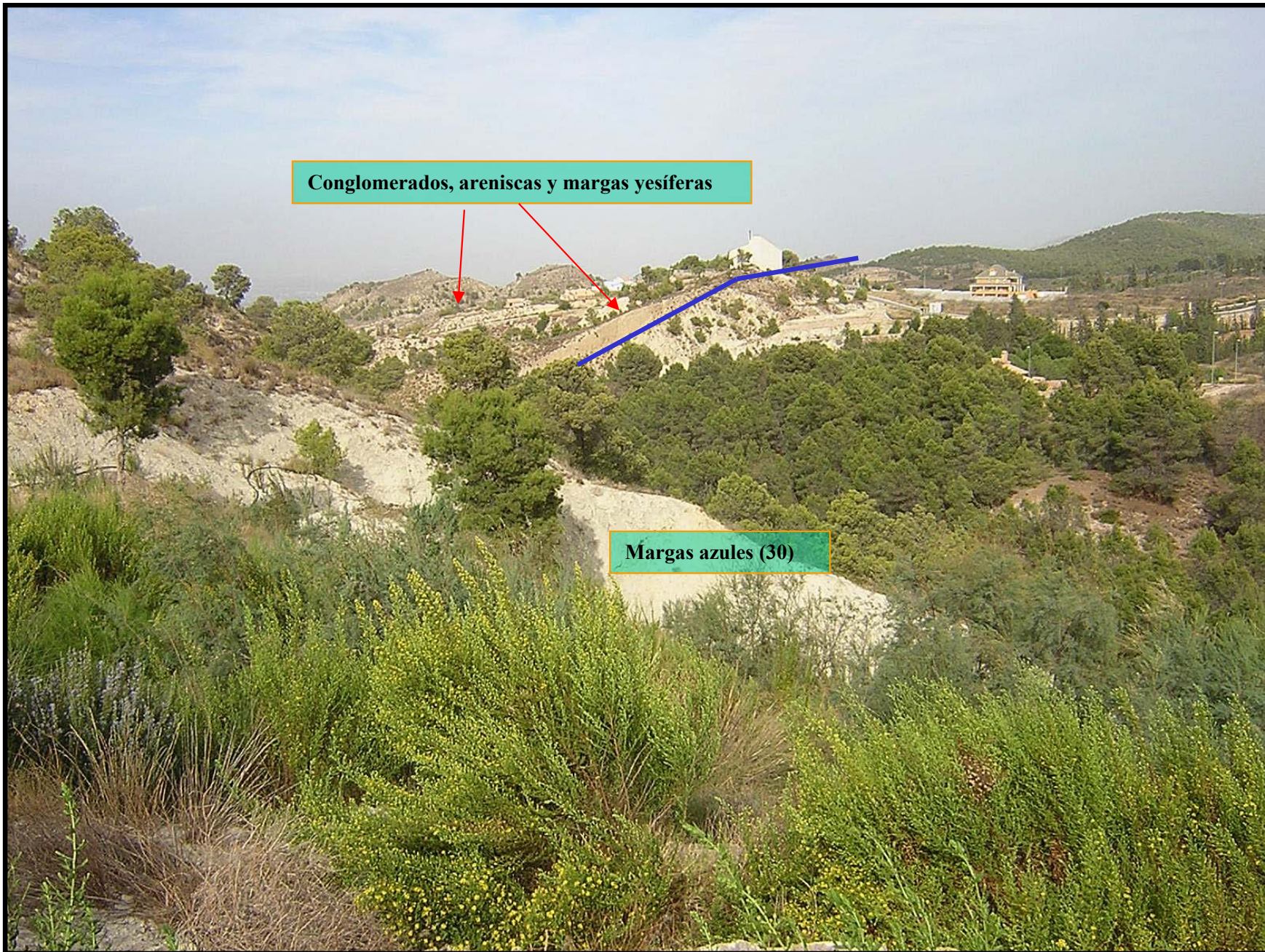
26-37-IN-FL-F 34.- Facies de mud-flow y eslumpadas en las areniscas y conglomerados (28) de la USD II.. Carretera de Alhama a Pliego.



26-37-IN-FL-F 35.- Secuencias gradadas T a-e y facies eslumpadas en las areniscas y conglomerados (28) de la USD II. Carretera de Alhama a Pliego.



26-37-IN-FL-F 36.- Areniscas calcáreas bioclásticas (29) de los tramos basales de la USD III en el Sinclinal de Sangonera.  
Vertiente septentrional de la Sierra de Carrascoy.



26-37-IN-FL-F 37.- Panorámica parcial del flanco meridional del sinclinal de Sangonera desde las Instalaciones de la C.A.M. En primer término margas azules (30) de la USD III y al fondo los conglomerados, areniscas y margas yesíferas de la USD IV



26-37-IN-FL-F 38.-Contacto entre las margas azules (30) de la USD III y los conglomerados calcíticos (cgc) y areniscas calcáreas bioclásticas en el tramo basal de la USD IV. Sinclinal de Sangonera.



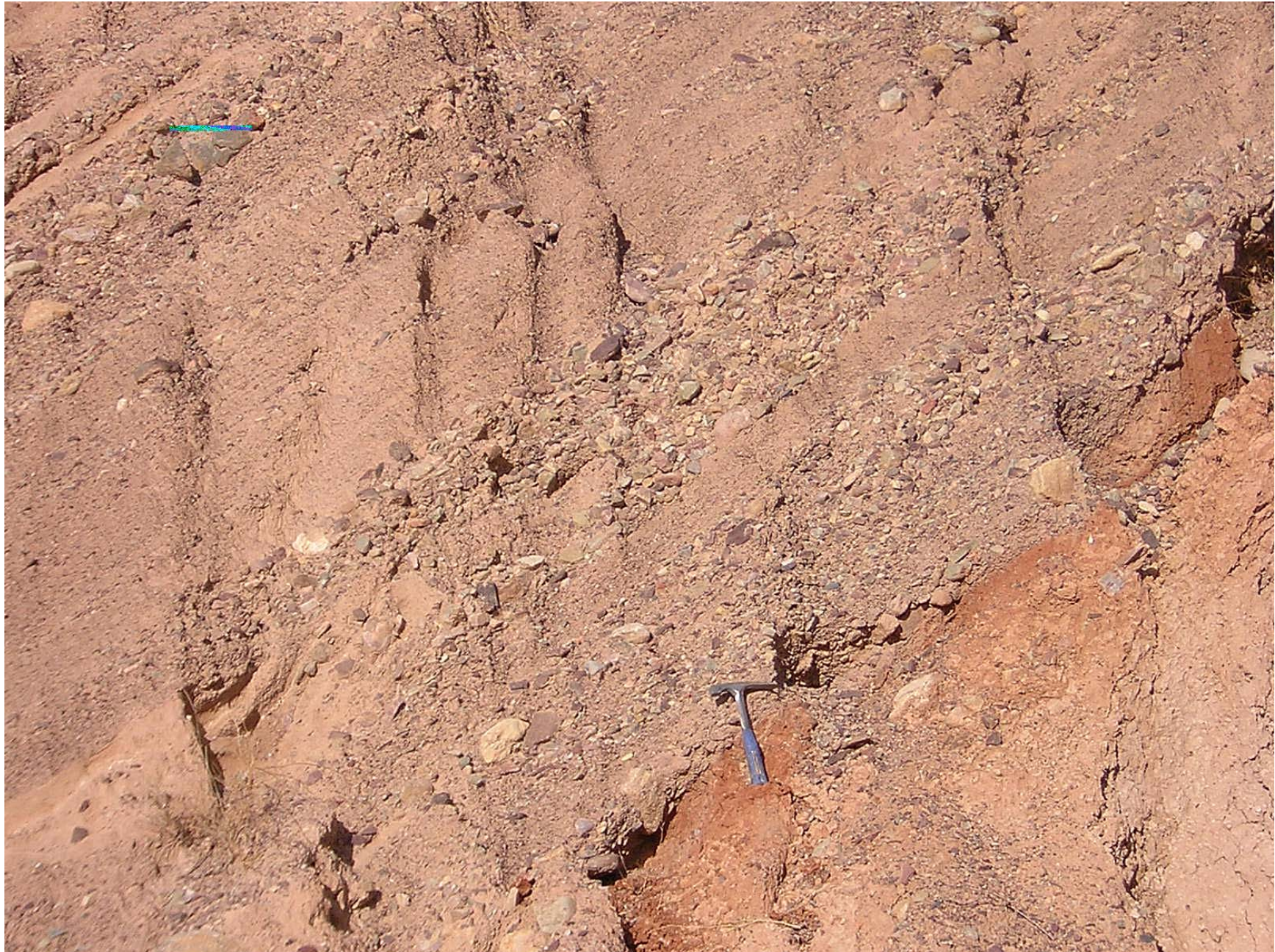
26-37-IN-FL-F 39.- Secuencias decamétricas de conglomerados a lutitas carbonatadas policolores (FUS) de la USD IV en el sinclinal de Sangonera



26-37-IN-FL-F 40.- Contacto entre las USD IV y V. Flanco septentrional del sinclinal de Sangonera.



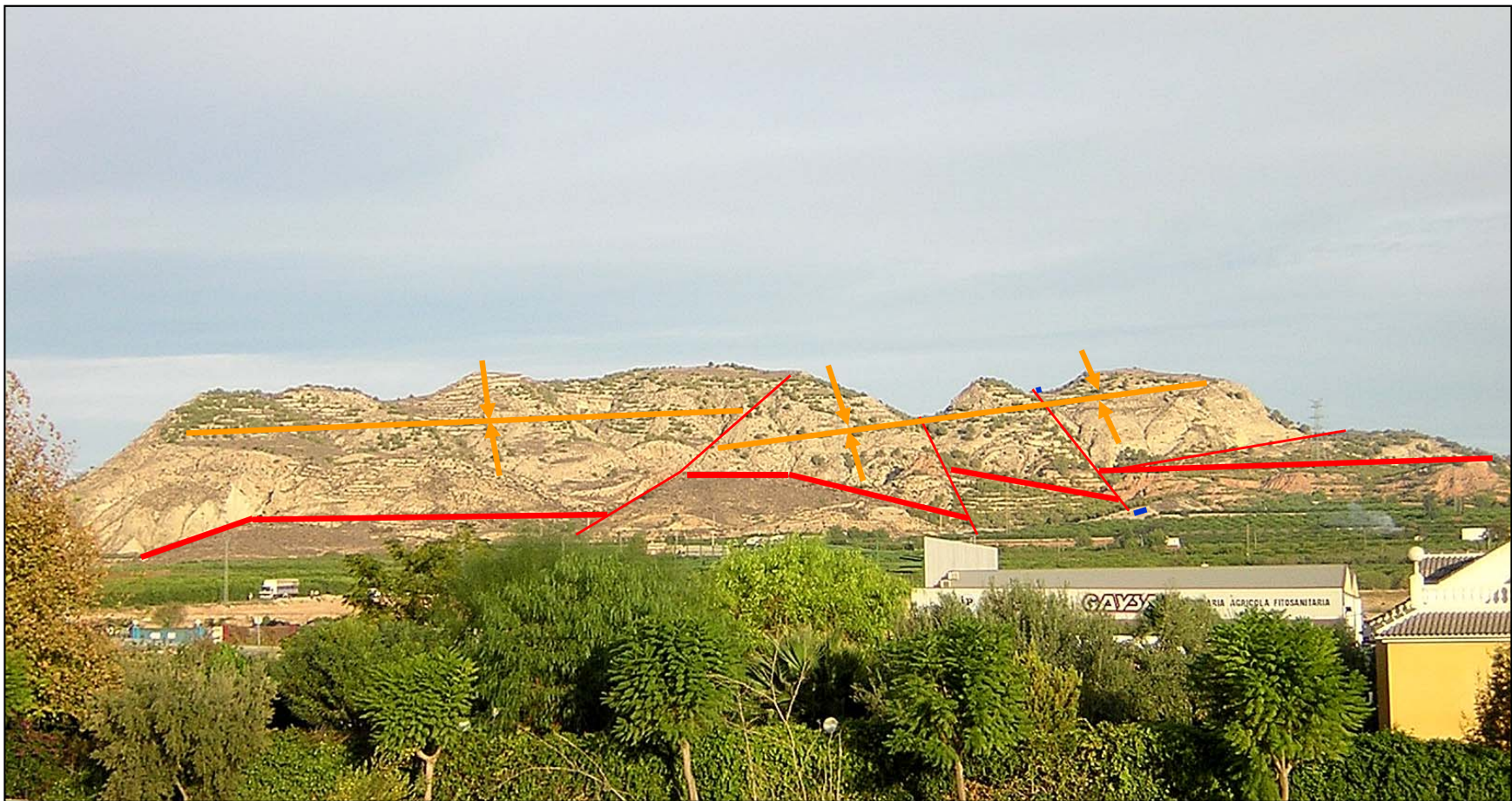
26-37-IN-FL-F 41.- Cantera de áridos en los conglomerados rojos de la USD V. Sinclinal de Sangonera, próximo al caserío Cuevas del Norte



26-37-IN-FL-F 42 .- Detalle de los conglomerados rojos (38), en la cantera de la foto anterior



26-37-IN-FL-F 43.- Panorámica de la Sierra de La Muela desde la A-92 a la altura de Alhama de Murcia



26-37-IN-FL-F 44.- Panorámica desde la A- 92 a la altura de Librilla, del sinclinal de la Loma del Castellar y del trazado de la Falla de Lorca-Alhama.



26-37-IN-FL-F 45.- Límite entre las USD IV y V en la carretera de Alcantarilla a Barqueros, en la ladera septentrional del Cabezo Negro.



26-37-IN-FL-F 46.- Panorámica hacia el este del núcleo en yesos masivos (36) del Cabezo Negro



26-37-IN-FL-F 47.- Yesos blanco microlaminares a masivos (36), en el núcleo anticinal del Cabezo Negro.



**26-37-IN-FL-F 48.- Vertiente septentrional de la Sierra de Carrascoy con los abanicos aluviales descendiendo al Valle del Guadalentín**



26-37-IN-FL-F 49.- Cantera de áridos detrítico-carbonatados en el Alto de la Serreta (sector NE). Explotan los conglomerados blancos, masivos con cantos carbonatados (35).



26-37-IN-FL-F 50.- Detalle de estos conglomerados (35). Observese su homometria y redondeamiento.



26-37-IN-FL-F 51 .- Un aspecto de los yesos blancos (36) replegados. Salida de la A- 92 a Jabalí Nuevo